

## ارزیابی پایداری عملکرد دانه ژنوتیپ‌های عدس با استفاده از تجزیه GGE بای پلات و AMMI

### Evaluation of Seed Yield Stability of Lentil Genotypes Using GGE Biplot and AMMI Analysis

رحمت‌الله کریمی‌زاده<sup>۱</sup>، پیام پزشکیپور<sup>۲</sup>، امیر میرزایی<sup>۳</sup> و پیمان شریفی<sup>۴</sup>

- ۱- استادیار، مرکز تحقیقات و آموزش کشاورزی و منابع طبیعی استان کهگیلویه و بویراحمد، سازمان تحقیقات، آموزش و ترویج کشاورزی، گچساران، ایران.
- ۲- استادیار، مرکز تحقیقات و آموزش کشاورزی و منابع طبیعی استان لرستان، سازمان تحقیقات، آموزش و ترویج کشاورزی، خرم‌آباد، ایران.
- ۳- استادیار، مرکز تحقیقات و آموزش کشاورزی و منابع طبیعی استان ایلام، سازمان تحقیقات، آموزش و ترویج کشاورزی، ایلام، ایران.
- ۴- دانشیار، گروه زراعت و اصلاح نباتات، دانشگاه آزاد اسلامی، واحد رشت، رشت، ایران.

تاریخ دریافت: ۱۳۹۹/۰۶/۱۰ تاریخ پذیرش: ۱۳۹۹/۰۹/۰۹

#### چکیده

کریمی‌زاده، ر.، پزشکیپور، پ.، میرزایی، ا. و شریفی، پ. ۱۳۹۹. ارزیابی پایداری عملکرد دانه ژنوتیپ‌های عدس با استفاده از تجزیه GGE بای پلات و AMMI. مجله نهال و بذر ۳۶: ۴۲۱-۴۲۸.

در این پژوهش ۱۸ ژنوتیپ عدس در سه سال زراعی (۱۳۹۲-۹۵) در شرایط دیم مناطق گچساران، ایلام و خرم‌آباد کشت شدند. بر اساس تجزیه واریانس اثر اصلی افزایشی و ضرب پذیر (AMMI) اثر محیط، ژنوتیپ و برهمکنش ژنوتیپ × محیط و سه مؤلفه اصلی اول بر عملکرد دانه معنی‌دار بودند. بر اساس شاخص انتخاب همزمان (ASV)، ژنوتیپ‌های G12، G8، G9، G16، G2 و G9؛ ssiSIPC؛ ژنوتیپ‌های G11، G12، G9، G2 و G7؛ ssiEV؛ ژنوتیپ‌های G11، G9، G2، G16، G12، G9 و G7؛ ssiZA؛ ژنوتیپ‌های G12، G9، G2، G16، G7 و G2؛ ssiWAAS؛ ژنوتیپ‌های G12، G9، G16، G2، G16، G9 و G2 به‌عنوان برترین ژنوتیپ‌ها شناسایی شدند. نمای چندضلعی GGE بای پلات ژنوتیپ‌های G2 و G12 را با پایداری عملکرد بالا مشخص کرد. نمای محور تستر متوسط (ATC) نشان داد که ژنوتیپ‌های G1، G10، G18 و G12 علاوه بر پایداری عملکرد، دارای عملکرد بالاتر از میانگین کل نیز بودند. بر پایه نمای بای پلات ژنوتیپ ایده‌آل، ژنوتیپ‌های G1، G16، G8، G18، G10، G15 و G12 ژنوتیپ‌های مطلوب بودند. نمای برداری GGE بای پلات نشان داد که محیط E1 (گچساران، ۹۳-۱۳۹۲) با قدرت نمایندگی و جداکنندگی بالا می‌تواند ژنوتیپ‌های دارای عملکرد پایدار را متمایز کند. در مجموع، بر اساس نماهای مختلف بای پلات و شاخص‌های انتخاب همزمان بر پایه مدل AMMI، ژنوتیپ G12 برترین ژنوتیپ بود و می‌تواند نامزد نامگذاری و آزادسازی به عنوان یک رقم جدید عدس برای شرایط دیم باشد.

واژه‌های کلیدی: عدس، جداکنندگی، سازگاری، شاخص انتخاب همزمان، شاخص‌های پایداری.

## مقدمه

در کشورهای در حال توسعه مناطق خشک و نیمه خشک غرب آسیا، عدس که منبع اصلی تأمین پروتئین مردم است، همچون حبوبات دیگر نقش مهمی در نظام‌های کشت سنتی ایفا می‌کند. علاوه بر اهمیت گیاه عدس در تأمین پروتئین، نقش آن در تثبیت نیتروژن توسط ریزوبیوم‌های ریشه می‌تواند آن را گیاهی مهم در چرخه تناوب با غلات قرار دهد (Bagheri *et al.*, 1997). با توجه به روند رو به رشد جمعیت جهان و نیاز روزافزون بشر به غذا، اصلاح گیاهان زراعی برای تأمین غذا بیش از پیش اهمیت دارد، به طوری که یک از مهمترین اهداف به‌نژادی، افزایش عملکرد گیاهان زراعی در شرایط مختلف محیطی و تأمین امنیت غذایی برای تمامی مردم دنیا است (Sharifi and Aminpanah, 2016).

افزایش عملکرد عدس در شرایط دیم به عواملی مانند سازگاری به محیط اقلیمی و سایر شرایط محیطی نیاز دارد (Karimizadeh *et al.*, 2008). از آنجا که امکان تولید رقمی جدید با سازگاری گسترده جغرافیایی و تنوع قابل ملاحظه محدود است، چنین رقمی باید بتواند پاسخ‌دهی مناسب به شرایط مختلف داشته باشد و از پتانسیل محیط‌های مختلف استفاده کند. آگاهی از برهمکنش ژنوتیپ × محیط که برای دانشمندان علوم ژنتیک و به‌نژادی دارای اهمیت ویژه‌ای است به نژادگران نبات کمک می‌کند

تا در ارزیابی ژنوتیپ‌ها با دقت بیشتری عمل کرده و بهترین ژنوتیپ‌ها را برگزینند (Sharifi *et al.*, 2017).

پژوهش‌هایی در زمینه ارزیابی برهمکنش ژنوتیپ × محیط و تجزیه پایداری با روش‌های مختلف برای عدس انجام شده است. به طوری که کریمی‌زاده و همکاران (Karimizadeh *et al.*, 2013a) در تحقیقی با روش GGE بای‌پلات، در ارزیابی ۱۸ ژنوتیپ عدس نشان دادند که دو مؤلفه اصلی اول به ترتیب ۴۹ و ۲۰ درصد از مجموع مربعات برهمکنش ژنوتیپ در محیط را توجیه کردند و با نمودارهای بای‌پلات بدست آمده از این دو مؤلفه، ژنوتیپ‌های پایدار را شناسایی کردند.

در پژوهشی دیگر، کریمی‌زاده و همکاران (Karimizadeh *et al.*, 2013b)، با ارزیابی پایداری ۱۰ ژنوتیپ عدس با روش GGE بای‌پلات دریافتند که دو مؤلفه اصلی اول و دوم به ترتیب ۴۸ و ۴۱ درصد از تغییرات برهمکنش ژنوتیپ × محیط را توجیه کردند و بنابراین با اطمینان بالا نسبت به ارزیابی پایداری ژنوتیپ‌ها و شناسایی ژنوتیپ‌های پایدار اقدام کردند. همچنین کریمی‌زاده و محمدی (Karimizadeh and Mohammadi, 2010) با ارزیابی ۱۰ ژنوتیپ عدس با روش تجزیه پایداری AMMI نشان دادند که اثر محیط، ژنوتیپ و برهمکنش ژنوتیپ در محیط معنی‌دار بود و این سه جزء به ترتیب ۸۹، ۲ و ۸/۶ درصد از مجموع مربعات کل ترکیبات تیماری را در بر

می‌گرفتند.

عدس با سازگاری خصوصی و عملکرد مطلوب با پایداری عملکرد با استفاده از تجزیه بای‌پلات GGE و AMMI بود.

تورک و کندال (Turk and Kendal, 2017) با ارزیابی شش ژنوتیپ عدس در هشت محیط، نشان دادند که دو مؤلفه اصلی اول به ترتیب ۴۴/۸۹ و ۲۴/۱۴ درصد از برهمکنش ژنوتیپ × محیط را توجیه کردند و با استفاده از مدل GGE بای‌پلات ژنوتیپ‌های پایدار شناسایی شدند. در پژوهشی دیگر، با ارزیابی ۲۴ ژنوتیپ عدس نشان داده شد که دو مؤلفه اصلی اول بیش از ۹۰ درصد تنوع برهمکنش ژنوتیپ در محیط را توجیه کردند و از GGE بای‌پلات برای ارزیابی همزمان عملکرد دانه و پایداری ژنوتیپ‌ها استفاده کردند و همچنین محیط متمایز کننده (Discriminative) یا حاوی اطلاعات (Informative) که در بیشترین میزان تنوع سهمیم بود، را شناسایی کردند (Jeberson *et al.*, 2019).

کانونی و همکاران (Kanouni *et al.*, 2007) با ارزیابی ژنوتیپ‌های عدس با تجزیه AMMI نشان دادند که عملکرد دانه ژنوتیپ‌ها به‌طور عمده‌ای تحت تأثیر بخش محیطی برهمکنش ژنوتیپ در محیط قرار دارد و سه مؤلفه اصلی اول به ترتیب ۵۲/۱۹، ۲۰/۲۶ و ۱۰/۹۹ درصد از کل برهمکنش ژنوتیپ در محیط را به خود اختصاص دادند.

هدف از این پژوهش شناسایی ژنوتیپ‌های

### مواد و روش‌ها

در این پژوهش ۱۶ ژنوتیپ پیشرفته عدس به همراه دو رقم شاهد کیمیا و گچساران (جدول ۱) که منتخب آزمایش‌های پیشرفته مقایسه عملکرد سال زراعی ۹۲-۱۳۹۱ بودند، در قالب طرح بلوک‌های کامل تصادفی در سه تکرار در سه منطقه گچساران، ایلام و خرم‌آباد در سه سال زراعی (۱۳۹۵-۱۳۹۲) در کرت‌هایی به طول پنج متر و عرض یک متر بر روی پنج خط با فاصله ۲۵ سانتی‌متر و تراکم ۲۰۰ دانه در مترمربع کشت شدند. برای تهیه زمین، هر سال زمینی که در سال پیش از آن آیش بود، با گاوآهن شخم زده شد و خاک آن با دیسک و روتواتور نرم گردید. کود شیمیایی بر مبنای نتایج آزمون خاک، ۱۰۰ کیلوگرم فسفات آمونیوم و ۳۵ کیلوگرم اوره، به هنگام آماده‌سازی زمین، بطور یکنواخت مصرف و با خاک مخلوط شد. پس از برداشت، عملکرد دانه وزن شد.

مختصات جغرافیایی و مقدار بارندگی سالانه مناطق اجرای آزمایش در طول فصل زراعی به ترتیب در جدول‌های ۲ و ۳ ارائه شده است.

جدول ۱- نام و شجره ژنوتیپ‌های عدس مورد مطالعه

Table 1. Name and pedigree of studied lentil genotypes

| ردیف<br>No. | نام/شجره<br>Name/Pedigree               | منشأ<br>Origin |
|-------------|---|----------------|
| 1           | GACH LOC 2010-01                        | Iran           |
| 2           | FLIP2007-16L ILL 2126/ILL 4659          | ICARDA         |
| 3           | FLIP2010-8L ILL 2126/ILL 6199           | ICARDA         |
| 4           | FLIP2011-1L ILL 6443/ILL 1005           | ICARDA         |
| 5           | FLIP2011-5L ILL 6434/ILL 6972           | ICARDA         |
| 6           | FLIP2011-6L ILL 6434/ILL 6972           | ICARDA         |
| 7           | FLIP1996-15L(Ibla 1) ILL 6209/ILL5671   | Iran           |
| 8           | ILL 4605/ADDA 2006-03-0GA-0GA-0GA-11    | Iran           |
| 9           | ILL 6434/ILL 8008 2006-03-0G-0GA-0GA-11 | Iran           |
| 10          | ILL 4605/ADDA 2006-06-0G-0GA-0GA-11     | Iran           |
| 11          | ILL 4605/ILL 6002 2006-02-0G-0GA-0GA-11 | Iran           |
| 12          | ILL 7547/ILL 6211 2006-02-0G-0GA-0GA-11 | Iran           |
| 13          | ILL 7547/ILL 6002 2006-03-0G-0GA-0GA-11 | Iran           |
| 14          | ILL 6211/ILL 6002 2006-07-0G-0GA-0GA-11 | Iran           |
| 15          | FLIP 2005-32L                           | ICARDA         |
| 16          | FLIP 2005-53L                           | ICARDA         |
| 17          | Kimia                                   | Iran           |
| 18          | Gachsaran                               | Iran           |

جدول ۲- مختصات جغرافیایی و میانگین بارندگی مناطق اجرای آزمایش

Table 2. Geographic coordinates and average rainfall of experimental sites

| Location   | مکان     | ارتفاع (متر از سطح دریا)<br>Altitude<br>(m above sea level) | عرض جغرافیایی<br>Longitude | طول جغرافیایی<br>Latitude | میانگین بارندگی (میلی‌متر)<br>Average rainfall (mm) |
|------------|----------|---|----------------------------|---------------------------|---|
| Gachsaran  | گچساران  | 710   | 50°50' E                   | 30°17' N                  | 450   |
| Ilam       | ایلام    | 975   | 46°36' E                   | 33°47' N                  | 350   |
| Khoramabad | خرم‌آباد | 1147  | 48°18' E                   | 33°29' N                  | 445   |

جدول ۳- بارندگی سالانه مناطق اجرای آزمایش در فصل زراعی ۱۳۹۲ تا ۱۳۹۵.

داخل پرانتز کد محیط است

Table 3. Annual rainfall of test environments in 2013-2016 cropping seasons.

Environment codes are presented in parenthesis

| Location   | مکان     | 2013-14    | 2014-15    | 2015-16    |
|------------|----------|------------|------------|------------|
| Gachsaran  | گچساران  | 503.7 (E1) | 420.6 (E4) | 390.1 (E7) |
| Khoramabad | خرم‌آباد | 363.6 (E2) | 294.1 (E5) | 743.4 (E8) |
| Ilam       | ایلام    | 396.1 (E3) | 325.8 (E6) | 737.8 (E9) |

(Bernal and GGEBiplotGUI و 2019) تجزیه AMMI و GGE بای پلات به ترتیب با استفاده از بسته‌های تجزیه آزمایش‌های چندمحیطی با نام METAN (Multi (Olivoto, environment trial analysis) Villardon, 2016) در محیط نرم‌افزار R انجام شد. در جدول ۴ روابط استفاده شده برای برآورد پارامترهای AMMI ارائه شده است.

جدول ۴- شاخص‌های تجزیه پایداری  
Table 4. Stability analysis indices

| ردیف<br>No. | شاخص<br>Index   | فرمول<br>Formula   | رفرنس<br>Reference    |
|-------------|---|--|-----------------------|
| 1           | AMMI stability value (ASV)  | $ASV = \sqrt{\left[ \frac{SSIPC1}{SSIPC2} (IPC1)^2 \right] + (IPC2)^2}$    | Purchase et al., 2000 |
| 2           | Sum of IPCs scores (SIPC)   | $SIPC = \sum_{n=1}^N \lambda_n^{0.5} \gamma_{in}$                          | Sneller et al., 1997  |
| 3           | Eigenvalue (EV) stability parameter of AMMI                                 | $EV = \sum_{n=1}^N \gamma_{in}^2 / n$                                      | Zobel et al., 1988    |
| 4           | Absolute value of the relative contribution of IPCs to the interaction (Za) | $Za_i = \sum_{n=1}^N  \theta_n \gamma_{in} $                               | Zali et al., 2012     |
| 5           | Simultaneous selection index (ssi)  | SSI = R(AMMI stability Indices) + RY                                       | Farshadfar, 2008      |
| 6           | Weighted average of absolute scores (WASS)                                  | $WAASB_i = \frac{\sum_{k=1}^p  IPCA_{ik} \times EP_k }{\sum_{k=1}^p EP_k}$ | Olivoto et al., 2019  |

در رابطه‌های شماره ۳ و ۴،  $\gamma_{in}$  ریشه مشخصه برای محور  $n$ م و  $N$  ( $N'$  در رابطه شماره ۴)، تعداد مؤلفه‌های اصلی است که در تجزیه واریانس AMMI با آزمون F معنی‌دار شده است.

در رابطه شماره ۴،  $\theta_n$  درصد مجموع مربعات توجیه شده به وسیله  $n$ مین محور IPC است. در این رابطه‌ها، ژنوتیپ‌های با مقادیر پایین این شاخص‌ها، دارای پایداری عملکرد هستند.

در رابطه شماره ۱ (ASV)، نسبت  $SSIPC1/SSIPC2$  وزن اختصاص داده شده به نخستین محور مؤلفه اصلی (IPC1) است که با تقسیم مجموع مربعات IPC1 بر مجموع مربعات IPC2 (دومین محور مؤلفه اصلی) بدست می‌آید.

در رابطه شماره ۲، ریشه مشخصه IPC در محور  $n$ م است. در این رابطه،  $N$  برای SIPC1 برابر با ۱ و برای SIPC2 برابر با تعداد IPCهایی است که در مدل باقی مانده است.

۴۴/۲۴، ۲۳/۶۸ و ۱۴/۱۰ درصد نقش زیادی در برهمکنش ژنوتیپ × محیط داشتند و مؤلفه‌های باقیمانده در درجه‌های بعدی اهمیت قرار داشتند و فقط حدود ۱۸ درصد از برهمکنش ژنوتیپ × محیط را توجیه کردند.

کسانونی و همکاران (Kanouni *et al.*, 2007) نیز با ارزیابی ۱۰ ژنوتیپ عدس نشان دادند که سه مؤلفه اصلی اول اثر معنی‌داری در برهمکنش ژنوتیپ در محیط داشتند و از تجزیه AMMI برای شناسایی ژنوتیپ‌های پایدار بهره گرفتند. سهم نسبتاً بالای دو مؤلفه اصلی اول در برهمکنش ژنوتیپ × محیط در این پژوهش با یافته‌های دهقانی و همکاران (Dehghani *et al.*, 2008)، کریمی‌زاده و همکاران (Karimizadeh *et al.*, 2013a) و کریمی‌زاده و همکاران (Karimizadeh *et al.*, 2013b) به ترتیب با سهم ۶۱/۶ و ۳۱/۲ درصدی، ۴۹ و ۲۰ درصدی و ۴۸ و ۴۱ درصدی دو مؤلفه اصلی اول و دوم در برهمکنش ژنوتیپ × محیط همخوانی دارد.

سهم محیط، ژنوتیپ و برهمکنش ژنوتیپ در محیط در مجموع مربعات کل به ترتیب ۶۵/۸، ۱/۵ و ۱۵/۱ درصد بود (جدول ۵) که نشان‌دهنده این است که تنوع مشاهده شده در بین ژنوتیپ‌ها در محیط‌های مختلف بیشتر برآمده از اثر محیط و برهمکنش ژنوتیپ × محیط بود و ژنوتیپ چندان نقش زیادی در این برهمکنش نداشت. مجموع مربعات

در رابطه شماره ۵، R(AMMI stability Indices)، رتبه ژنوتیپ‌ها بر پایه هر کدام از شاخص‌های پایداری AMMI ذکر شده در بالا و RY، رتبه میانگین عملکرد دانه ژنوتیپ‌ها در تمام محیط‌ها است.

در رابطه شماره ۶، WAAS<sub>i</sub> میانگین وزنی نمرات مطلق ژنوتیپ  $\bar{A}_i$ ؛ IPCA<sub>ik</sub>، نمره ژنوتیپ  $\bar{A}_i$  در  $k$ امین محور مؤلفه اصلی برهمکنش (IPCA)؛ و EP<sub>k</sub>، مقدار واریانس توجیه شده توسط  $k$ امین IPCA است. ژنوتیپ با کمترین مقدار WAAS، دارای عملکرد پایدار در نظر گرفته می‌شود (Olivoto *et al.*, 2019).

## نتایج و بحث

### تجزیه واریانس AMMI

تجزیه واریانس داده‌ها در هر کدام از محیط‌ها نشان داد که در هفت محیط از نه محیط، اثر ژنوتیپ بر عملکرد دانه معنی‌دار بود که گویای تفاوت بین ۱۸ ژنوتیپ در این محیط‌ها بود (داده‌ها نشان داده نشده‌اند). همچنین بررسی عملکرد ژنوتیپ‌ها در محیط‌های مختلف گویای واکنش متفاوت ژنوتیپ‌ها به محیط‌ها بود، از این رو تجزیه پایداری بر روی این داده‌ها به روش AMMI و بای‌پلات GGE انجام شد.

تجزیه AMMI نشان داد که اثر محیط، ژنوتیپ و برهمکنش ژنوتیپ × محیط بر عملکرد دانه معنی‌دار بود. این نتایج همچنین نشان داد که سه مؤلفه اصلی به ترتیب با سهم

ژنوتیپ × محیط، نیاز به ارزیابی پایداری عملکرد ژنوتیپ‌های مورد مطالعه با روش‌های تجزیه پایداری بود. اثر معنی‌دار برهمکنش ژنوتیپ × محیط در عملکرد دانه ژنوتیپ‌های عدس، عملکرد متفاوت ژنوتیپ‌ها را در محیط‌های مختلف نشان می‌دهد. بنابراین از آنجا که برهمکنش ژنوتیپ × محیط می‌تواند هر گونه پیشرفت برآمده از گزینش را کاهش دهد، در گزینش ارقام تلفیق عملکرد بالا و پایداری عملکرد می‌تواند به نتایج خوبی بیانجامد.

برهمکنش ژنوتیپ × محیط ۱۵/۱ درصد از مجموع مربعات کل را به خود اختصاص داده بود و این موضوع در مورد درجه آزادی برهمکنش ژنوتیپ × محیط ۲۸/۰۴ درصد بود. این یافته با گزارش کریمی‌زاده و محمدی (Karimizadeh and Mohammadi, 2010) که نشان دادند در ارزیابی ۱۰ ژنوتیپ عدس سهم محیط، ژنوتیپ و برهمکنش ژنوتیپ در محیط در مجموع مربعات کل به ترتیب ۲، ۸۹ و ۸/۶ درصد بود، همخوانی دارد.

بنابراین با توجه به معنی‌دار بودن برهمکنش

جدول ۵- تجزیه واریانس مرکب روش امی برای عملکرد دانه ژنوتیپ‌های عدس

Table 5. AMMI combined analysis of variance for seed yield of lentil genotypes

| S.O.V.          | منبع تغییر     | درجه آزادی<br>df. | مجموع مربعات<br>SS | میانگین مربعات<br>MS | درصد از کل<br>% Total |
|-----------------|----------------|-------------------|--------------------|----------------------|-----------------------|
| Environment (E) | محیط           | 8                 | 127760508          | 15970064**           |                       |
| Replication (E) | تکرار (محیط)   | 18                | 5266121            | 292562               |                       |
| Genotype (G)    | ژنوتیپ         | 17                | 2839649            | 167038               |                       |
| E × G           | ژنوتیپ × محیط  | 136               | 29259238           | 215141**             |                       |
| PC1             | مؤلفه اصلی اول | 24                | 14564039           | 606835**             | 44.2                  |
| PC2             | مؤلفه اصلی دوم | 22                | 5059066            | 229958**             | 23.7                  |
| PC3             | مؤلفه اصلی سوم | 20                | 4125708            | 206285**             | 14.1                  |
| Residual        | باقیمانده      | 70                | 5510423            | 78720                | 17.7                  |
| Error           | خطای آزمایشی   | 306               | 29084257           | 95047                |                       |
| Total           | کل             | 485               | 194209772          | 400433               |                       |

\* و \*\*: به ترتیب معنی‌دار در سطح احتمال پنج درصد و یک درصد.

\*and \*\*: Significant at the 5% and 1% probability levels, respectively.

توجه به هر دو شاخص پایداری و عملکرد دانه مهم است در جدول ۶ میانگین عملکرد هر کدام از ژنوتیپ‌ها در تمام محیط‌ها نشان داده شده است، به طوری که میانگین عملکرد ژنوتیپ‌ها در تمام محیط‌ها ۱۵۶۶ کیلوگرم در هکتار بود و

### شاخص‌های پایداری AMMI و انتخاب همزمان

از آنجا که برهمکنش ژنوتیپ × محیط و سه مؤلفه اصلی اول معنی‌دار بودند، با پارامترهای مختلف AMMI پایداری ژنوتیپ‌ها ارزیابی شد. از آنجا که در شناسایی ژنوتیپ‌های برتر

جدول ۶- شاخص‌های پایداری، رتبه و شاخص انتخاب همزمان برای ژنوتیپ‌های عدس

Table 6. Stability indices, rank and simultaneous selection index for lentil genotypes

| کد ژنوتیپ<br>Genotype code | عملکرد دانه<br>(کیلوگرم در هکتار)<br>Yield (kg ha <sup>-1</sup> ) | ASV  | SIPC | EV     | ZA    | rY | rASV | rSIPC | rEV | rZA | ssiASV | ssiSIPC | ssiEV | ssiZA | WAAS  | rWAAS | ssiWAAS |
|----------------------------|---|------|------|--------|-------|----|------|-------|-----|-----|--------|---------|-------|-------|-------|-------|---------|
| G1                         | 1538  | 31.8 | 20.9 | 0.0424 | 0.161 | 10 | 13   | 12    | 9   | 13  | 23     | 22      | 19    | 23    | 8.62  | 14    | 24      |
| G2                         | 1590  | 14.9 | 16.8 | 0.0290 | 0.101 | 7  | 7    | 6     | 6   | 6   | 14     | 13      | 13    | 13    | 5.02  | 7     | 14      |
| G3                         | 1503  | 22.4 | 13.8 | 0.0142 | 0.109 | 13 | 9    | 4     | 4   | 8   | 22     | 17      | 17    | 21    | 5.91  | 8     | 21      |
| G4                         | 1490  | 13.4 | 11.0 | 0.0116 | 0.076 | 16 | 5    | 1     | 1   | 2   | 21     | 17      | 17    | 18    | 3.98  | 2     | 18      |
| G5                         | 1620  | 64.4 | 38.0 | 0.1110 | 0.307 | 6  | 18   | 18    | 17  | 18  | 24     | 24      | 23    | 24    | 16.70 | 18    | 24      |
| G6                         | 1491  | 7.8  | 20.6 | 0.0730 | 0.103 | 15 | 1    | 11    | 13  | 7   | 16     | 26      | 28    | 22    | 4.80  | 5     | 20      |
| G7                         | 1533  | 18.0 | 11.7 | 0.0128 | 0.090 | 12 | 8    | 3     | 2   | 3   | 20     | 15      | 14    | 15    | 4.85  | 6     | 18      |
| G8                         | 1676  | 25.1 | 28.9 | 0.1100 | 0.167 | 3  | 10   | 14    | 16  | 14  | 13     | 17      | 19    | 17    | 8.12  | 11    | 14      |
| G9                         | 1554  | 12.4 | 11.3 | 0.0134 | 0.075 | 9  | 4    | 2     | 3   | 1   | 13     | 11      | 12    | 10    | 3.90  | 1     | 10      |
| G10                        | 1486  | 11.1 | 17.2 | 0.0374 | 0.097 | 17 | 3    | 7     | 8   | 4   | 20     | 24      | 25    | 21    | 4.72  | 4     | 21      |
| G11                        | 1623  | 34.1 | 18.5 | 0.0323 | 0.156 | 5  | 14   | 8     | 7   | 11  | 19     | 13      | 12    | 16    | 8.59  | 13    | 18      |
| G12                        | 1626  | 8.9  | 19.2 | 0.0457 | 0.099 | 4  | 2    | 9     | 11  | 5   | 6      | 13      | 15    | 9     | 4.66  | 3     | 7       |
| G13                        | 1496  | 37.7 | 34.4 | 0.1050 | 0.229 | 14 | 15   | 16    | 15  | 15  | 29     | 30      | 29    | 29    | 11.80 | 15    | 29      |
| G14                        | 1559  | 29.5 | 20.4 | 0.0427 | 0.153 | 8  | 12   | 10    | 10  | 10  | 20     | 18      | 18    | 18    | 8.16  | 12    | 20      |
| G15                        | 1692  | 60.5 | 26.3 | 0.0707 | 0.246 | 2  | 16   | 13    | 12  | 16  | 18     | 15      | 14    | 18    | 13.90 | 16    | 18      |
| G16                        | 1725  | 14.9 | 30.4 | 0.1210 | 0.160 | 1  | 6    | 15    | 18  | 12  | 7      | 16      | 19    | 13    | 7.58  | 10    | 11      |
| G17                        | 1455  | 63.6 | 35.1 | 0.1030 | 0.290 | 18 | 17   | 17    | 14  | 17  | 35     | 35      | 32    | 35    | 15.90 | 17    | 35      |
| G18                        | 1538  | 27.1 | 16.2 | 0.0242 | 0.128 | 11 | 11   | 5     | 5   | 9   | 22     | 16      | 16    | 20    | 6.97  | 9     | 20      |

SY: Seed Yield  
 ASV: AMMI Stability value  
 SIPC: Sum of IPCs scores  
 EV: Eigenvalue stability  
 ZA: Absolute value of the relative contribution of interaction IPCs  
 rY: Rank of yield  
 rASV: Rank of ASV  
 rSIPC: Sum of IPCs scores  
 rEV: rank of eigenvalue stability  
 rZA: Rank based on absolute value of the relative contribution of interaction IPCs  
 ssi (ASV, SIPC, EV, ZA): Simultaneous selection index for ASV, SIPC, EV, ZA  
 WAAS: Weighted average of absolute scores  
 rWAAS: Rank based on weighted average of absolute scores  
 ssiWAAS: Simultaneous selection index for weighted average of absolute scores

SY: عملکرد دانه  
 ASV: ارزش پایداری امی  
 SIPC: مجموع امتیازات مولفه‌های اصلی  
 EV: پایداری مقادیر ویژه  
 ZA: ارزش مطلق سهم نسبی مولفه‌های اثر متقابل  
 rY: رتبه عملکرد  
 rASV: رتبه براساس ارزش پایداری امی  
 rSIPC: رتبه مجموع امتیازات مولفه‌های اصلی  
 rEV: رتبه براساس پایداری مقادیر ویژه  
 rZA: رتبه براساس ارزش مطلق سهم نسبی مولفه‌های اثر متقابل  
 ssi: شاخص انتخاب همزمان برای آماره‌های امی (ASV, SIPC, EV, ZA)  
 WAAS: میانگین وزنی امتیازات مطلق  
 rWAAS: رتبه براساس میانگین وزنی امتیازات مطلق  
 ssiWAAS: شاخص انتخاب همزمان براساس میانگین وزنی امتیازات مطلق



دانه پایدار شناسایی کردند. همان‌گونه که در رابطه‌های برآورد شاخص‌ها در جدول ۴ نشان داده شده است، در برآورد این شاخص‌ها فقط به جنبه‌های پایداری عملکرد دانه ژنوتیپ‌ها بسنده شد و از آنجا که مقدار عملکرد دانه ژنوتیپ‌ها در این ارزیابی‌ها نقش ندارد، امکان گزینش ژنوتیپ‌هایی با عملکرد پایین همچون ژنوتیپ‌های G3، G4، G6 و G10 با عملکردی پایین‌تر از میانگین کل عملکرد ژنوتیپ‌ها وجود دارد، بنابراین شاخص انتخاب همزمان (ssi) بر پایه هر کدام از شاخص‌های بالا برای شناسایی ژنوتیپ‌های برتر به کار گرفته شد. شاخص انتخاب همزمان ssiASV، ژنوتیپ‌های G2، G8، G9، G12، G16، ssiSIPC؛ ژنوتیپ‌های G2، G9، G11، G12، G16، G2 و G7؛ ssiEV، ژنوتیپ‌های G9، G11، G2، G7 و G15 و ssiZA، ژنوتیپ‌های G2، G9، G12، G16 و G7 را به ترتیب به عنوان ژنوتیپ‌های برتر شناسایی کردند. همچنین با استفاده از شاخص ssiWAAS، ژنوتیپ‌های G2، G8، G9، G12، G16 و G2 به ترتیب ژنوتیپ‌های برتر بودند (جدول ۶).

از آنجا که در شناسایی این ژنوتیپ‌های برتر به دو جنبه عملکرد بالا و پایداری آن به‌طور همزمان توجه شد، استفاده از این شاخص‌ها نشانگر این واقعیت است که ژنوتیپ‌ها دارای پایدارترین عملکرد دانه عموماً بالاترین عملکرد دانه را نداشتند و در نتیجه شانس گزینش ژنوتیپ‌های با عملکرد پایین و اما پایدار ممکن

بیشترین عملکرد دانه برای ژنوتیپ شماره G16 (۱۷۲۵ کیلوگرم در هکتار) و بعد از آن به ترتیب مربوط به ژنوتیپ‌های شماره G8، G15، G12، G11، G5 و G2 بود. رقم شاهد کیمیا (ژنوتیپ شماره G17) با میانگین تولید ۱۴۵۵ کیلوگرم در هکتار کمترین میزان عملکرد دانه را داشت.

بر اساس شاخص ارزش پایداری امی (ASV)، ژنوتیپ‌های شماره G6، G10، G12، G9 و G4 با داشتن کمترین امتیاز این شاخص، به ترتیب دارای پایدارترین عملکرد دانه بودند. گزارش‌هایی مبنی بر استفاده از شاخص ASV به‌عنوان یک معیار مفید برای شناسایی ژنوتیپ‌های با عملکرد دانه پایدار در عدس وجود دارد (Dehghani *et al.*, 2008; Karimizadeh *et al.*, 2010; Karimizadeh *et al.*, 2013a; Karimizadeh *et al.*, 2013b).

شاخص SIPC، ژنوتیپ‌های G4، G9، G7، G3 و G18 و شاخص EV، ژنوتیپ‌های G4، G7، G9، G3 و G18 را به ترتیب پایدارترین عملکرد دانه شناسایی کردند. شاخص ZA نیز ژنوتیپ‌های G9، G4، G7، G10 و G12 را به ترتیب به‌عنوان پنج ژنوتیپ با عملکرد پایدار شناسایی نمودند. شاخص WAAS که برای برآورد آن، از همه مؤلفه‌های اصلی معنی‌دار (باقیمانده در مدل) با وزن‌های مختلف استفاده شد، ژنوتیپ‌های G9، G4، G12، G10 و G6 را به ترتیب به‌عنوان ژنوتیپ‌های دارای عملکرد

(Kanouni *et al.*, 2007; Karimizadeh *et al.*, 2013a; Karimizadeh *et al.*, 2013b; Turk and Kendal, 2017; Jeberson *et al.*, 2019).

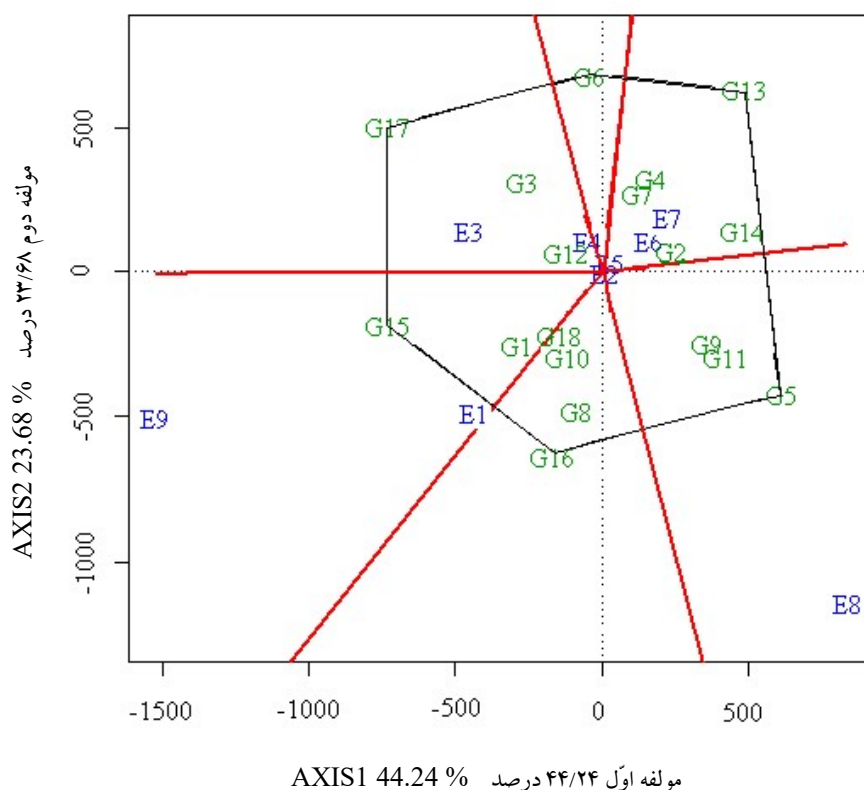
روش GGE بای پلات ابزار مناسبی برای ارزیابی عملکرد بر پایه مؤلفه اصلی اول و پایداری عملکرد بر مبنای مؤلفه اصلی دوم است (Yan and Kang, 2003). بر این اساس از نمای چندضلعی بای پلات (شکل ۱)، که از بهم پیوستن دورترین ژنوتیپ‌ها از مبدأ بای پلات (ژنوتیپ‌های رأسی) پدید آورده می‌شود، برای دیدن برهمکنش ژنوتیپ × محیط و نشان دادن مفاهیمی چون سازگاری خصوصی یک ژنوتیپ و تفکیک محیط‌های کلان (Mega-environment) بهره گرفته شد (Yan and Kang, 2003). در این نمای بای پلات، چندضلعی با خطوطی عمود بر ضلع‌ها به بخش‌هایی تقسیم می‌شود، به طوری که در هر بخش بهترین ژنوتیپ، ژنوتیپ جای گرفته در رأس آن بخش برای محیط‌های واقع در آن است (Yan *et al.*, 2000).

در این نمای بای پلات (شکل ۱)، ژنوتیپ‌های G17، G6، G13، G5، G16 و G15 با داشتن بیشترین فاصله از مبدأ بای پلات، ژنوتیپ‌های رأسی بودند. در بخشی که ژنوتیپ G17 در رأس آن بود، ژنوتیپ‌های G3 و G12 و محیط‌های E3 و E4 جای داشتند که نشان می‌داد ژنوتیپ G17 (رقم کیمیا) و دو ژنوتیپ دیگر به این دو محیط سازگاری داشتند. در

است کاهش یابد (Farshadfar, 2008). پژوهشگران دیگری نیز از شاخص گزینش همزمان برای عملکرد بالا و پایداری عملکرد در عدس استفاده کرده‌اند و ژنوتیپ‌های برتر را شناسایی کرده‌اند (Sabaghnia *et al.*, 2006). با آنکه دو مؤلفه اصلی اول در این پژوهش، ۶۷/۹ درصد از تغییرات برهمکنش ژنوتیپ × محیط را توجیه کردند، گزینش ژنوتیپ‌های برتر فقط بر پایه این دو مؤلفه و چشم‌پوشی از عملکرد دانه بالا می‌تواند نتایج نادرستی را در پی داشته باشد. برای نمونه بر پایه شاخص‌های مختلف AMMI، ژنوتیپ‌های G3، G4، G6 و G10 به ترتیب پایداری‌ترین عملکرد دانه را داشتند، حال آنکه زمانی که ssi برای هر یک از این شاخص‌ها به کار گرفته شد، این ژنوتیپ‌ها در شمار ژنوتیپ‌های برگزیده نبودند. از سوی دیگر، ژنوتیپ G2 و G8 با آنکه بر اساس پارامترهای AMMI دارای عملکرد پایدار نبودند، اما بر پایه شاخص‌های ssi به عنوان ژنوتیپ‌های برتر بودند.

### تجزیه GGE بای پلات

تجزیه GGE بای پلات نشان داد که دو مؤلفه اصلی اول در مجموع ۶۷/۹۲ درصد (به ترتیب ۴۴/۲۴ و ۲۳/۶۸) از کل تغییرات برهمکنش ژنوتیپ × محیط را توجیه کردند. چنین نتیجه‌ای در خصوص سهم بالای دو مؤلفه اصلی اول در برهمکنش ژنوتیپ × محیط در عدس توسط سایر پژوهشگران نیز گزارش شده است



شکل ۱- نمای چند ضلعی GGE بای پلات بر اساس عملکرد دانه ۱۸ ژنوتیپ عدس در نه محیط. شماره ژنوتیپ‌ها و محیط‌ها به ترتیب همانند جدول‌های ۱ و ۲ است.

Fig. 1. Polygon view of the GGE biplot based on seed yield of 18 lentil genotypes in nine environments. The code of genotypes and environments are similar to those in Table 1 and Table 2, respectively.

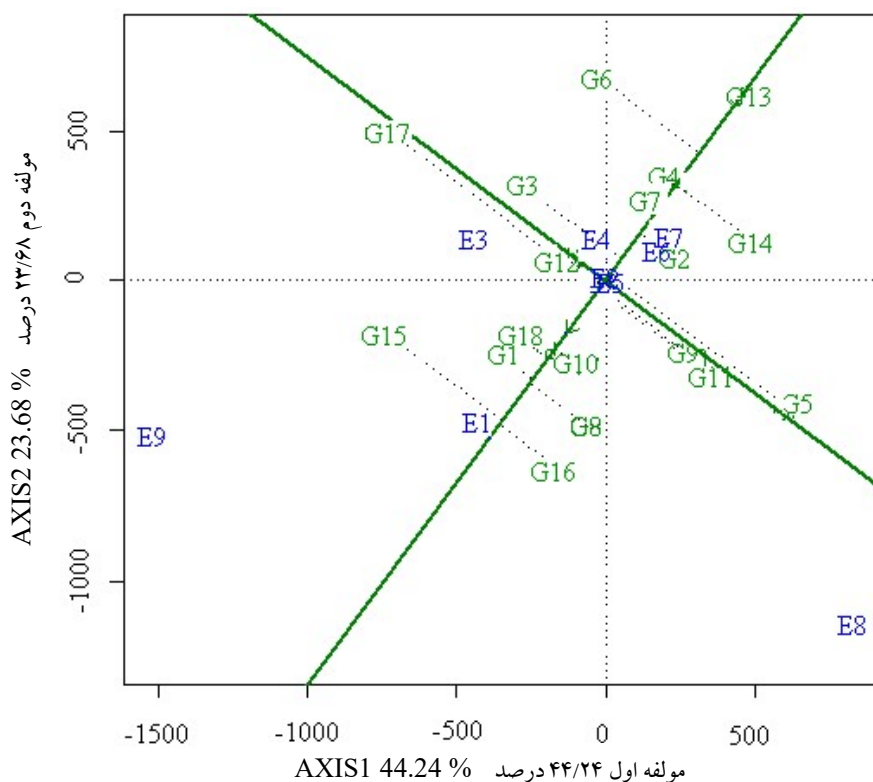
بر می گرفت، بنابراین می توان گفت که ژنوتیپ‌های یادشده، ژنوتیپ‌های برتر برای این دو محیط بودند.

در بخش چهارم، ژنوتیپ G5 و ژنوتیپ‌های G11 و G9 به همراه محیط E8 جای داشتند، بنابراین برای این محیط با توجه به فاصله آن از بای پلات از توانایی جداکنندگی خوبی نیز بین ژنوتیپ‌ها برخوردار بود، ژنوتیپ‌های G5، G11

بخش بعدی که در رأس آن بود، هیچ ژنوتیپ و محیطی جای نگرفته بودند، بنابراین نشان داد که این ژنوتیپ مناسب برای هیچ کدام از محیط‌ها نبود. با استفاده از شاخص گزینش همزمان بر اساس شاخص‌های AMMI نیز چنین نتیجه‌ای گرفته شد. ژنوتیپ رأسی G13 در بخشی جای داشت که ژنوتیپ‌های G4، G2، G7، G13 و G14 و محیط‌های E6 و E7 را در

Jeberson *et al.*, 2019;) محور تستر متوسط (ATC) برای ارزیابی همزمان میانگین عملکرد دانه و پایداری عملکرد ژنوتیپ‌ها در یک بای پلات ژنوتیپ محور به کار گرفته شد (شکل ۲). رتبه‌بندی ژنوتیپ‌ها بر روی این محور که از مبدأ بای پلات و میانگین محیط (میانگین نمرات PC1 و PC2 محیط‌ها) می‌گذرد و بُعد افقی ATC نیز نامیده می‌شود، نمادی از اثر اصلی ژنوتیپ (G) یا میانگین متغیر وابسته است (Yan and Kang, 2003). بر پایه این نمای بای پلات، رتبه ژنوتیپ‌ها  $G13 < G6 < G14 \approx G4 < G2 < G3 < G5 < G9 \approx G12 \approx G11 \approx G17 < G10 \approx G18 < G1 \approx 8 < G15 \approx G16$  بود. بُعد قائم ATC که از مبدأ بای پلات می‌گذرد و عمود بر بُعد افقی ATC است، تقریبی از برهمکنش ژنوتیپ  $\times$  محیط و در نتیجه شاخصی از تنوع یا ناپایداری ژنوتیپ‌ها بود (شکل ۲). بر این اساس، ژنوتیپ‌های G15، G17، G3 و G6 در بخش بالایی و ژنوتیپ‌های G9، G11، G5 و G14 در بخش پایین در دورترین نقاط از خط ATC، دارای برهمکنش ژنوتیپ  $\times$  محیط بیشتر و پایداری عملکرد کمتر بودند. ژنوتیپ‌های G1، G10، G18 و G12 که نزدیک به محور ATC بودند، علاوه بر پایداری عملکرد دانه بودن نسبت به ژنوتیپ‌های دیگر دارای عملکرد بالاتر از میانگین کل نیز بودند (شکل ۲).

G9 ژنوتیپ‌های برتر بودند. در بخش پنجم ژنوتیپ G16 در رأس همراه با ژنوتیپ‌های G8 و G10 بدون سازگاری به هیچ کدام از محیط قرار داشتند. در بخش آخر این چندضلعی، ژنوتیپ‌های G1، G15 و G18 با سازگاری به محیط‌های E9 و E1 قرار داشتند. از دیگر کاربردهای این نمای بای پلات، شناسایی ژنوتیپ‌های دارای پایداری عملکرد بالا بر پایه نزدیکی به مبدأ بای پلات است که بر این اساس ژنوتیپ‌های G2 و G12 دارای پایداری عملکرد به همه محیط‌ها بودند. کاربرد دیگر این نمای بای پلات شناسایی محیط‌های کلان یا ابر-محیط‌ها است که شامل محیط‌های E2، E3، E4، E5 و E7 (نخستین ابر-محیط) و E9 و E1 (دومین ابر-محیط) بود. محیط E8 جزء هیچ کدام از این محیط‌های کلان نبود. محیط‌های کلان برای کاستن شمار محیط‌ها در آزمایش‌های آینده و همچنین تشخیص نوع برهمکنش شامل تغییر در رتبه (ناشی از تفاوت عملکرد ژنوتیپ‌ها در هر کدام از گروه‌های محیطی) و تغییر در مقدار (ناشی از جای گرفتن برخی از محیط‌ها در گروه‌های مشابه) استفاده می‌شود (Yan and Tinker, 2006). پژوهشگران دیگری نیز با روش بای پلات، ژنوتیپ‌های پایدار عدس و محیط‌های کلان را برای آن شناسایی کردند (Kanouni *et al.*, 2007; Karimizadeh *et al.*, 2013a; Karimizadeh *et al.*, 2013a; Turk and Kendal, 2017;



شکل ۲- نمایش میانگین مختصات تستر (ATC) از GGE بای پلات بر اساس عملکرد دانه ۱۸ ژنوتیپ شماره ژنوتیپ‌ها و محیط‌ها به ترتیب همانند جدول‌های ۱ و ۲ است.

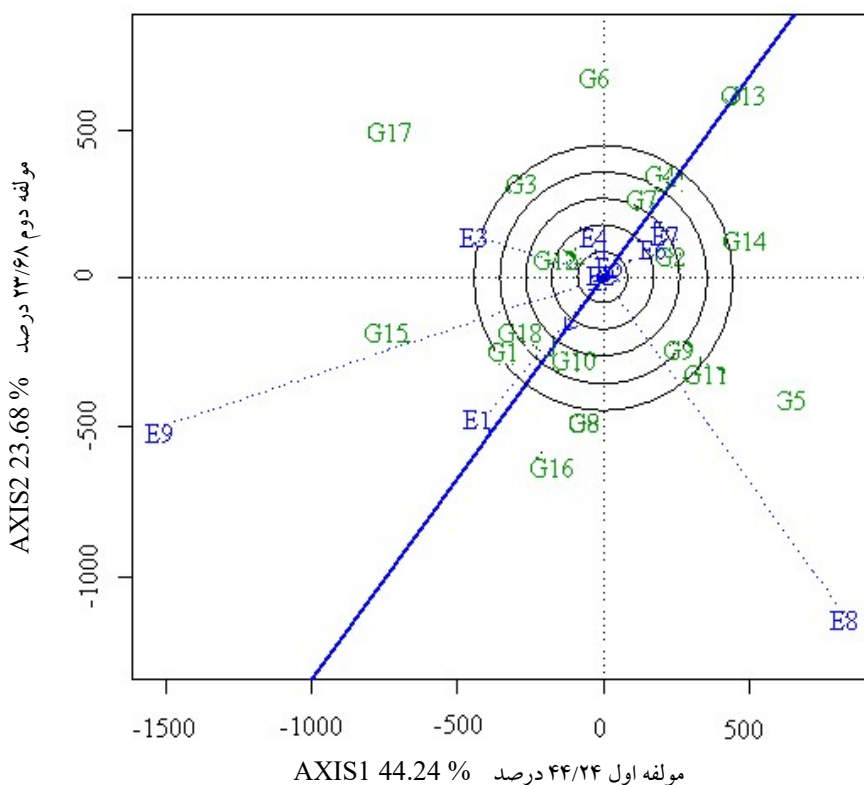
Fig. 2. Average tester coordinate (ATC) view of the GGE biplot based on seed yield of 18 lentil genotypes in nine environments. The code of genotypes and environments are similar to those in Table 1 and Table 2, respectively.

بردارهای بلند از توانایی جداکنندگی (Discriminating) بالایی برخوردار بودند و می‌توانند کارایی نسبی ژنوتیپ‌ها را به درستی برآورد کنند. محیط‌های E2، E4، E5، E6 و E7 در حلقه‌های نزدیک مبدأ بای پلات کمترین توانایی جداکنندگی را بین ژنوتیپ‌ها داشتند و اطلاعات کمی درباره ژنوتیپ‌ها فراهم آورند. محیط‌های E1، E2، E5، E6، E7 و E8 با داشتن

برای درک روابط بین محیط‌ها از نمای برداری GGE بای پلات استفاده می‌شود که در آن محیط‌ها از طریق خط‌هایی به مبدأ بای پلات وصل می‌شوند (شکل ۳). بر اساس این نمای بای پلات، برخی از بردارهای محیطی شامل محیط‌های E6 و E7 دارای همبستگی بالایی با همدیگر بودند. این نمای بای پلات همچنین نشان داد که محیط‌های E1، E8 و E9 با

ژنوتیپ‌های ناپایدار جدا کنند و به بیانی دیگر دارای توانایی جداکنندگی بالایی نیز هستند. در این محیط (گچساران، ۹۳-۱۳۹۲)، مقدار بارندگی در مقایسه با میانگین بلندمدت و نسبت به سال زراعی قبل افزایش داشت و با توجه به پراکنش فصلی مناسب، بارندگی نسبتاً خوب در فصل بهار و خنکی هوا نسبت به میانگین طولانی

زاویه حاده نسبت به محور ATC، از نمایندگی (Representative) بیشتری نسبت به سایر محیط‌ها برخوردار بودند (Yan *et al.*, 2000). محیط‌های با زاویه حاده نسبت به خط ATC، به‌ویژه آنهایی که بردارهای بلندتری نیز دارند، همچون محیط ۱ (E1)، علاوه بر نمود عملکرد بالا، به خوبی می‌توانند ژنوتیپ‌های پایدار را از



شکل ۳- نمای برداری GGE بای پلات که روابط بین محیط‌های آزمایش را نشان می‌دهد. شماره ژنوتیپ‌ها و محیط‌ها به ترتیب همانند جدول‌های ۱ و ۲ است.

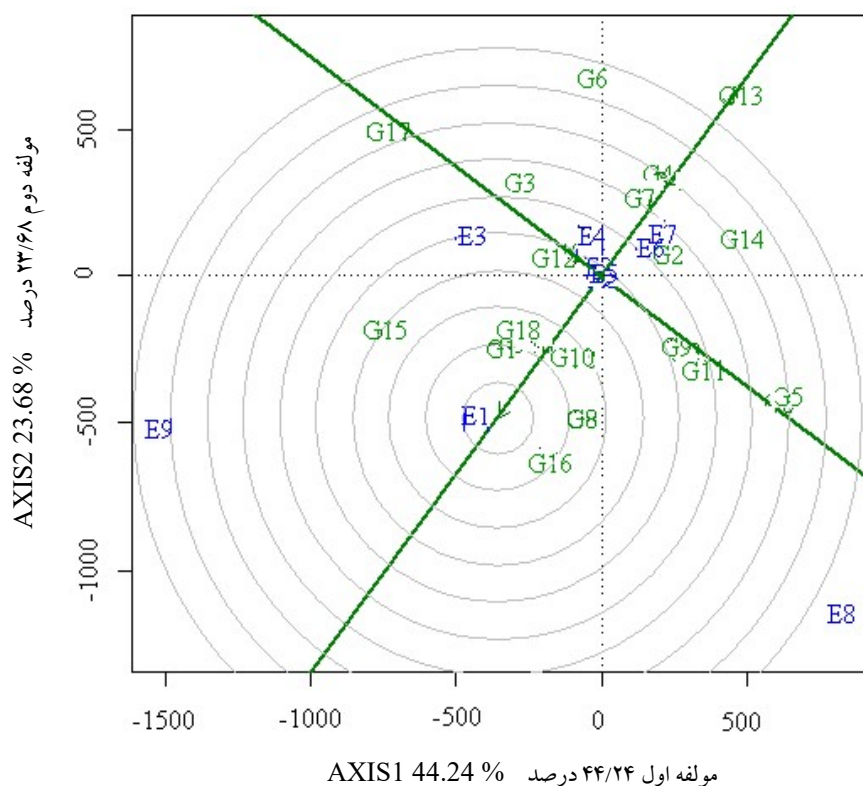
Fig. 3. The vector view of the GGE biplot that shows the interrelationships among the test environments. The code of genotypes and environments are similar to Table 1 and Table 2, respectively.

ژنوتیپ به ژنوتیپ ایده‌آل (واقع در اولین دایره متحدالمرکز در بای‌پلات) به‌عنوان یک ژنوتیپ مطلوب می‌تواند در آزمایش‌های بعدی نیز استفاده شود، اما ژنوتیپ‌های نامطلوب که دور از ژنوتیپ ایده‌آل جای دارند می‌توانند در مراحل اولیه به‌نژادی حذف شوند (Yan and Kang, 2003). بر پایه این نمای بای‌پلات، ژنوتیپ‌های G1، G16، G8، G18، G10، G15 و G12 واقع در دایره‌های اطراف ژنوتیپ ایده‌آل، ژنوتیپ‌های مطلوب بودند (شکل ۴).

تجزیه واریانس AMMI نشان داد که اثر محیط و برهمکنش ژنوتیپ  $\times$  محیط بر عملکرد دانه معنی‌دار بود. از این‌رو تجزیه پایداری ژنوتیپ‌ها برای گزینش ژنوتیپ‌های با عملکرد دانه پایدار منطقی به نظر رسید. ژنوتیپ‌های G4 و G9 بر اساس کلیه شاخص‌های پایداری AMMI دارای عملکرد پایدار بودند. شاخص انتخاب همزمان (SSI)، بر اساس هر کدام از شاخص‌های AMMI، ژنوتیپ‌های G2، G12 و G9 را به‌عنوان ژنوتیپ‌های برتر شناسایی کردند. نمای چندضلعی بای‌پلات نشان داد که ژنوتیپ‌های عدس مورد مطالعه، پراکنده‌گی مناسبی در محیط‌های آزمایشی داشتند. نمای محور تستر متوسط و نمای چندضلعی بای‌پلات نشان داد که ژنوتیپ‌های G2 و G12 می‌توانند به‌عنوان ژنوتیپ‌های مطلوب باشند.

مدت آن محیط مطلوبی فراهم نمود. به نظر می‌رسد که این ویژگی‌های مطلوب محیطی سبب نمایندگی و جداکنندگی بالای این ژنوتیپ‌ها شد. همچنین ضریب تغییرات (CV) آزمایش در این محیط ۹/۲ درصد بود که برای شرایط دیم مطلوب است. محیط‌های با توانایی جداکنندگی، اما غیر نماینده (همچون محیط‌های E8 و E9) برای گزینش ژنوتیپ‌های با سازگاری خصوصی با توجه به تقسیم محیط‌های هدف به محیط‌های کلان می‌توانند به کار گرفته شوند (شکل ۳). دو محیط E8 و E9 از نظر مقدار بارندگی نسبت به محیط‌های دیگر در شرایط مطلوبی بودند (جدول ۳).

در شکل ۴ یک دایره کوچک و پیکان در بُعد افقی ATC به ژنوتیپ ایده‌آل اشاره می‌کند، هرچند که ممکن است چنین ژنوتیپی در واقعیت وجود نداشته باشد، اما می‌تواند مرجعی برای ارزیابی سودمندی ژنوتیپ (Kroonenberg, 1995) و معیاری برای گزینش ژنوتیپ‌های با عملکرد بالا و پایدار (Yan and Kang, 2003) باشد. چنین ژنوتیپی بیشترین میانگین عملکرد (با بیشترین طول بر روی خط ATC) و پایداری عملکرد (کمترین فاصله عمودی با خط ATC) را دارد. هر اندازه فاصله ژنوتیپ‌ها از این ژنوتیپ ایده‌آل بیشتر باشد، از مطلوبیت آن (عملکرد و پایداری عملکرد) کاسته می‌شود. و نزدیک‌ترین



شکل ۴- نمای GGE بای پلات بر اساس مقیاس بندی متمرکز بر ژنوتیپ برای مقایسه ژنوتیپ‌ها با ژنوتیپ ایده‌آل. شماره ژنوتیپ‌ها و محیط‌ها به ترتیب همانند جدول‌های ۱ و ۲ است.

Fig. 4. GGE-biplot view based on genotype-focused scaling for comparison of genotypes with the ideal genotype. The code of genotypes and environments are similar to Table 1 and Table 2, respectively.

آزادسازی به عنوان رقم تجاری جدید عدس برای شرایط دیم مدنظر قرار گیرد. این ژنوتیپ می‌تواند به‌عنوان والدین در برنامه‌های به‌نژادی عدس نیز مورد استفاده باشد.

#### سپاسگزاری

نگارندگان از مدیریت و کارکنان مراکز تحقیقات و آموزش کشاورزی و منابع طبیعی استان‌های کهگیلویه و بویر احمد، لرستان و

نمای برداری GGE بای پلات نشان داد که محیط E1 (گچساران، ۹۳-۱۳۹۲) با نمود عملکرد و توانایی جداکنندگی بالا به خوبی می‌تواند ژنوتیپ‌های با عملکرد پایدار را جدا کند. در مجموع بر اساس شاخص‌های مختلف، به‌ویژه شاخص‌های انتخاب همزمان بر پایه عملکرد دانه بالا و پایداری عملکرد (ssi) و نماهای مختلف بای پلات، ژنوتیپ G12 برترین ژنوتیپ بود و می‌تواند برای نامگذاری و



ایلام برای پشتیبانی و هماهنگی های لازم برای اجرای این پژوهش سپاسگزاری می کنند.

## References

- Bagheri, A., Goldani, M., and Hassanzadeh, M. 1997.** Agronomy and breeding lentils. Jihad-e-Daneshgahi of Mashhad Publication. 248 pp. (in Persian).
- Dehghani, H., Sabaghpour, S. H., and Sabaghnia, N. 2008.** Genotype  $\times$  environment interaction for grain yield of some lentil genotypes and relationship among univariate stability statistics. Spanish Journal of Agricultural Research 6 (3): 385-394.
- Farshadfar, E., 2008.** Incorporation of AMMI stability value and grain yield in a single non-parametric index (GSI) in bread wheat. Pakistan Journal of Biological Science 11: 1791–1796.
- Jeberson, M. S., Shashidhar, K. S., Wani, S. H., Singh, A. K., and Dar, S. A. 2019.** Identification of stable lentil (*Lens culinaris* Medik) genotypes through GGE biplot and AMMI analysis for north hill zone of India. Legume Research 42 (4): 467-472.
- Kanouni, H., Talei, A., Bihamta, M. R., Shahab, M. R., Kamel, M., and Mostafaei, H. 2007.** Stability of seed yield of lentil genotypes in rainfed areas of the west of the country through AMMI analysis. Iranian Journal of Agricultural Sciences 38 (2): 295-302 (in Persian).
- Karimizadeh, R., and Mohammadi, M. 2010.** AMMI adjustment for rainfed lentil yield trials in Iran. Bulgarian Journal of Agricultural Science 16: 66-73
- Karimizadeh, R., Pezeshkpour, P., Mohammadi, M., Sadeghzadeh Ahri, D., and Yousefi Azar, M. 2014.** Evaluation of genotype  $\times$  environment interaction by AMMI method in lentil lines. pp. 553-556. In Proceedings of the 5<sup>th</sup> Iranian Pulse Crops Conference. Karaj, Iran (in Persian).
- Karimizadeh, R., M. Mohammadi, and N. Sabaghnia. 2013a.** Site regression biplot analysis for matching new improved lentil genotypes into target environments. Journal of Plant Physiology and Breeding 3 (2): 51-65.
- Karimizadeh, R., Mohammadi, M., Sabaghnia, N., Mahmoodi, A. A., Roustami, B., Seyyedi, F., Akbari, F. 2013b.** GGE biplot analysis of yield stability in multi-environment trials of lentil genotypes under rainfed condition. Notulae Scientia Biologicae 5 (2): 256-262
- Karimizadeh, R., Safikhani, M., Mohammadi, M., Seyyedi, F., Mahmoodi, A. A., and Rostami, B. 2008.** Determining rank and stability of lentil in rainfed condition

- by non-parametric statistics. *Journal of Science and Technology in Agriculture and Natural Resources* 43 (1): 93-103 (in Persian).
- Kroonenberg, P. M. 1995.** Introduction to biplots for  $G \times E$  tables. Centre for Statistics. Research Report 51. The University of Queensland, Brisbane, Australia. 22 pp.
- Olivoto, T., Lucio, A. D. C., da Silva, J. A. G., Marchioro, V. S., de Souza, V. Q., and Jost, E. 2019.** Mean performance and stability in multi-environment trials I: Combining features of AMMI and BLUP techniques. *Agronomy Journal* 111: 2949-2960.
- Purchase, J. L., Hatting, H., and Van Deventer C. S. 2000.** Genotype  $\times$  environment interaction of winter wheat (*Triticum aestivum* L.) in South Africa: II. Stability analysis of yield performance. *South African Journal of Plant and Soil* 17 (3): 101-107.
- Sharifi P., Aminpanah, H., Erfani, R., Mohaddesi, and A., Abbasian, A. 2017.** Evaluation of genotype  $\times$  environment interaction in rice based on AMMI model in Iran. *Rice Science* 24 (3): 173–180.
- Sharifi, P., and Aminpanah, H. 2016.** Evaluation of genotype  $\times$  environment interactions, stability and a number of genetic parameters in rice genotypes. *Plant Genetic Research* 3 (2): 25-42 (in Persian).
- Sneller, C. H., Kilgore-Norquest, L., and Dombek, D. 1997.** Repeatability of yield stability statistics in soybean. *Crop Science* 7: 383–390.
- Turk, Z., and Kendal, E. 2017.** The practice of AMMI and GGE biplot analysis of lentil genotypes assessment in multi-environment trials. *Philippine Journal of Crop Science* 42 (3): 39-48.
- Yan, W., and Kang M. S. 2003.** GGE biplot analysis: a graphical tool for breeders, geneticists and agronomists. 1<sup>st</sup> edition. CRC Press LLC. Boca Raton, Florida. 271 pp.
- Yan, W., and Tinker, N. A. 2006.** Biplot analysis of multi-environment trial data: Principles and applications. *Canadian Journal of Plant Science* 86: 623–645.
- Yan, W., Hunt, L. A., Shen, Q., and Szlavnic, Z. 2000.** Cultivar evaluation and mega-environment investigation based on the GGE biplot. *Crop Science* 40 (3): 597- 605.
- Zali, H., Farshadfar, E., Sabaghpour, S. H., and Karimizadeh, R. 2012.** Evaluation of genotype  $\times$  environment interaction in chickpea using measures of stability from AMMI model. *Annals of Biological Research* 3: 3126–3136.
- Zobel, R. W., Wright, A. J., and Gauch H. G. 1988.** Statistical analysis of a yield trial. *Agronomy Journal* 80: 388-393.